

## S. Gerchinovity

VC-dimension des réseaux de neurones feed-forward

Contrôle de l'erreur de généralisation

### Intro

Sur les 3 termes : erreur d'approximation / de généralisation / d'optimisation, on va s'intéresser au 3<sup>e</sup>.

Plus précisément : on se restreint au problème de classification binaire :

- À partir d'un échantillon  $(X_1, Y_1), \dots, (X_n, Y_n) \stackrel{iid}{\sim} P_{X,Y}$  sur  $X \times \{0,1\}$  proposer un classifieur  $\hat{h}_n : X \rightarrow \{0,1\}$  tel que  $P(\hat{h}_n(X) \neq Y)$  soit le plus petit possible.
- On va étudier des classifiants  $\hat{h}_n$  de la forme  $\hat{h}_n = \mathbb{1}_{\{\hat{f}_n > 0\}} = \text{sgn}(\hat{f}_n)$  où  $\hat{f}_n$  est un réseau de neurones feed-forward.

On cherchera à contrôler l'erreur de risque

$$P(\hat{h}_n(X) \neq Y) - \inf_{h \in H} P(h(X) \neq Y)$$

où  $H = \text{sgn } F = \{\text{sgn } f : f \in F\}$

avec  $F = \text{tous les fonctions qui sont obtenus à partir d'une architecture de réseau feed-forward fixée (on fait juste varier les biais et les poids sur les arêtes reliant les neurones).}$

### 1/ VC-dimension et borne de risque (quelques rappels)

Gf cours de l'X de C. Grisard "Fondements mathématiques de l'apprentissage statistique".

Déf: Soit  $H$  un ensemble de classifiants  $h : X \rightarrow \{0,1\}$ .

On appelle "coefficent d'éclatement" (ou : coefficient de pulvérisation, shattering coefficient, growth function) la quantité :

$$\boxed{\pi_H(m) = \max_{x_1, \dots, x_m \in X} \text{card} \left\{ \underbrace{(h(x_1), \dots, h(x_m))}_{\in \{0,1\}^m} : h \in H \right\} \quad (m \in \mathbb{N}^*)}$$

Thm :  $\pi_H(m) \leq 2^m$  et  $\pi_H(m) \leq \text{card } H$  si  $H$  fini.

Déf : On appelle dimension de Vapnik-Chervonenkis de  $H$ , notée  $\text{VCdim}(H)$ , la quantité (avec la convention  $\pi_H(0) = 1$ ) :

$$\text{VCdim}(H) := \sup \{ m \in \mathbb{N} : \pi_H(m) = 2^m \} \in \mathbb{N} \cup \{+\infty\}.$$

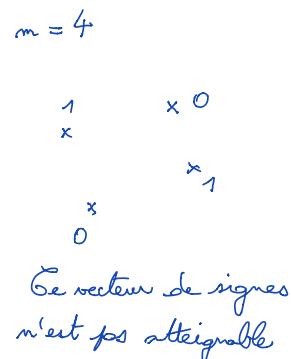
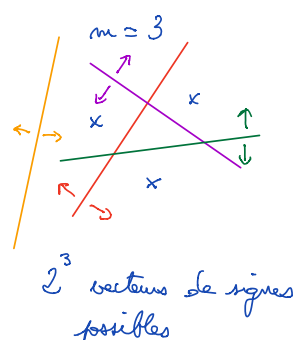
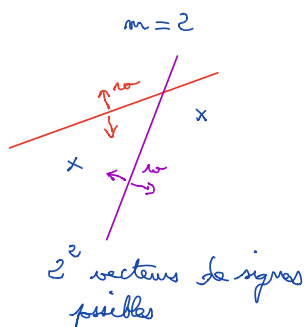
$$\pi_H(m) = 2^m \Leftrightarrow \exists x_1, \dots, x_m \in X, \forall \tau \in \{0,1\}^m, \exists h \in H, \forall i \in \{1, \dots, m\}, h(x_i) = \tau_i.$$

Interprétation :  $\text{VCdim}(H)$  est la taille du plus grand échantillon  $(x_1, \dots, x_m)$  que  $H$  peut "échter", i.e., tel qu'on puisse obtenir les  $2^m$  vecteurs de signes possibles en appliquant des fonctions  $h \in H$  à l'échantillon  $(x_1, \dots, x_m)$ .

Ex :  $H := \{x \in \mathbb{R}^d \mapsto \text{sgn}(\langle w, x \rangle + b) ; w \in \mathbb{R}^d, b \in \mathbb{R}\}$  "perceptron"

$$\text{VCdim}(H) = d + 1$$

Lemme pour  $d = 2$  :



Lemme de Lauer : Lit  $H$  tel que  $0 < V := \text{Vdim}(H) < +\infty$ ,  $\forall m \geq 1$ ,

$$\pi_H(m) \leq \sum_{i=0}^V \binom{m}{i}$$

$$\begin{cases} = e^m & \text{si } m \leq V \\ \leq \left(\frac{me}{V}\right)^V & \text{si } m \geq V \quad (\text{transition exp} \rightsquigarrow \text{poly en } m) \end{cases}$$

Pensee par récurrence.

Proposition 1 (majoration du risque de classification de l'ERM)

Lit  $H \subset \{g_1\}^X$  tel que  $V := \text{Vdim}(H) \in \mathbb{N}^*$ .

Alors :

$$(a) \mathbb{E} \left[ \sup_{h \in H} \left| P(h(X) \neq Y) - \frac{1}{m} \sum_{i=1}^m \mathbb{1}_{h(X_i) \neq Y_i} \right| \right] \leq \sqrt{\frac{2 \lg(2\pi_H(m))}{m}}$$

sur  $(X_i, Y_i)$  i.i.d.m

Cela entraîne les déviations uniformes du risque empirique autour du vrai risque.

sur  $H$

(b) Le minimiseur  $\hat{h}_m$  du risque empirique (ERM) :  $\hat{h}_m \in \arg \min_{h \in H} \frac{1}{m} \sum_{i=1}^m \mathbb{1}_{Y_i \neq h(X_i)}$

Vérifie :

$$P(\hat{h}_m(X) \neq Y) - \inf_{h \in H} P(h(X) \neq Y) \leq 4 \sqrt{\frac{2 \lg(2\pi_H(m))}{m}}$$

Rem :  $\forall m \geq V$ ,  $\log \pi_H(m) \stackrel{\text{Lauer}}{\leq} V \log \left(\frac{e^m}{V}\right)$  donc la borne de risque est en  $\sqrt{\frac{V \log(e^m/V)}{m}}$  (on pouvait enlever ici le facteur  $\log$  avec la technique de "chânage").

- En combinant la preuve avec l'inégalité de Mc Diarmid, on obtient une borne en grande proba en  $\sqrt{\frac{V \log(e^m/V)}{m}} + \sqrt{\frac{\log(1/\delta)}{m}}$  avec  $\text{prob} \geq 1 - \delta$ .

Proposition 2 (minoration de l'excès de risque dans le jeu des ss, pour tout classifieur) [cf. annexe]

Soit  $H \subset \{0,1\}^X$  de VC-dimension  $V \in \mathbb{N}^*$ .

Alors :  $\forall m \geq V$ ,  $\hat{f}_m(x_i, y_i)_{i \leq m}, x$

$$\inf_{\hat{f}_m} \sup_{P \in \mathcal{D}_m^+ (\mathcal{X} \times \{0,1\})} \left\{ P(\hat{f}_m(x) \neq y) - \inf_{g \in H} P(g(x) \neq y) \right\} \geq c_1 \sqrt{\frac{V}{m}}$$

où  $c_1, c_2 > 0$  sont des constantes absolues et où l'infimum est pris sur tous les classifiants  $\hat{f}_m : \underbrace{(\mathcal{X} \times \{0,1\})^m}_{\text{sur l'échantillon}} \times \mathcal{X} \rightarrow \{0,1\}$ .

Cette proposition signifie que, quel que soit le classifieur  $\hat{f}_m$  considéré, il existe une loi jointe  $P$  sur  $\mathcal{X} \times \{0,1\}$  qui rend l'excès de risque de  $\hat{f}_m$  au moins de l'ordre de  $\sqrt{V/m}$ . Cette borne inférieure s'appelle une "borne inférieure minimale". Elle permet d'identifier l'ordre de grandeur de l'excès de risque dans le jeu des ss du meilleur classifieur.

### 2/ Contrôle de la VC-dimension d'un réseau de neurones feed-forward.

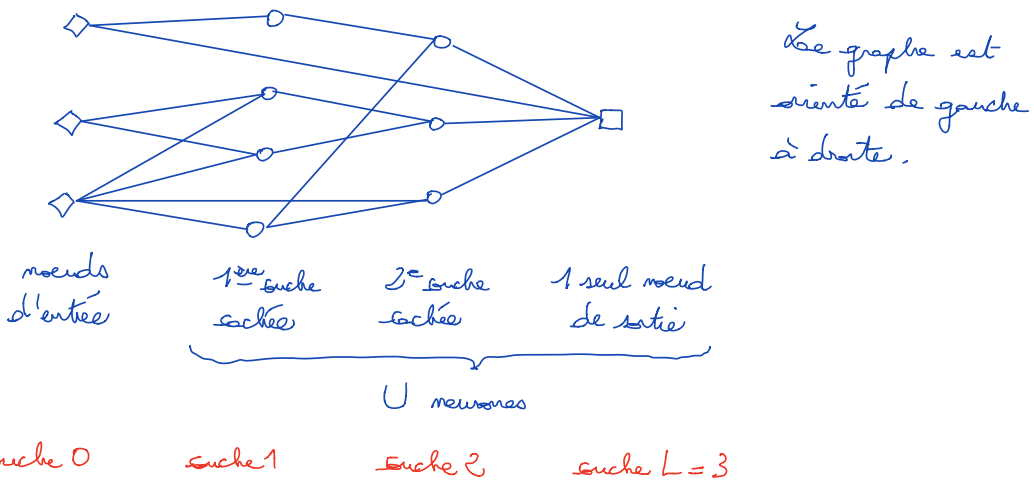
"Nearly-tight VC-dimension and pseudodimension bounds for piecewise linear neural networks", Bartlett, Harvey, Liaw and Mehrabian, COLT 2017.

On va majorer la VC-dimension d'un réseau de neurones feed-forward (architecture fixée) en fonction de  
 L : nb de couches (layers)  
 U : nb de neurones (computation units)  
 W : nb de poids (weights)

Définition formelle d'un réseau de neurones feed-forward :

- fonction d'activation  $\sigma : \mathbb{R} \rightarrow \mathbb{R}$
- graph orienté acyclique (DAG)  $G = (S, A)$

- vecteur de poids : un réel par arête et un réel par neurone



$L :=$  longueur maximale d'un chemin dans  $G$ .

$$W = |A| + U$$

↗      ↑  
 réels sur      bias pour  
 les arêtes      chaque neurone

Sur l'exemple ci-dessus :

$$L=3, U=8, W=24$$

Les numéros de couche sont définis formellement ainsi :

- couche  $0 = \{ \text{nœuds de degré entrant nul} \}$
- couche  $l = \{ \text{nœuds qui admettent au moins un précurseur de la couche } l=1, \dots, L-1, \text{ éventuellement d'autres précurseurs des couches } 0, 1, \dots, l-2; \text{ et aucun autre précurseur} \}$

On suppose qu'il existe un unique nœud de degré sortant nul (nœud de sortie, couche  $L$ ).

Rem : on autorise des connexions entre couches non-consecutives.

Fonctionnement de chacun des  $U-1$  neurones cachés : en entrée :  $x \in \mathbb{R}^{d\text{e}g\text{e} entrant}$   
 en sortie :  $\sigma(w_i \cdot x + b)$   
 pris sur les arcs entrants

Neurone de sortie :  $x \mapsto \langle w, x \rangle + b$

On se restreint au cas "polynomial par morceaux": on suppose que  $\varphi: \mathbb{R} \rightarrow \mathbb{R}$  est polynomiale sur chacun de  $p+1$  morceaux ( $p \geq 1$ )  $I_1, I_2, \dots, I_{p+1}$  intervalles d'intérieurs non-vides, 2 à 2 disjoints, d'union  $\mathbb{R}$ .

Ex:  $\varphi = \text{ReLU}$        $I_1 = (-\infty, 0)$        $I_2 = [0, +\infty)$   
 $\varphi(x) = \begin{cases} 0 & \text{sur } I_1 \\ x & \text{sur } I_2 \end{cases}$

Théorème 1 (Bartlett, Harvey, Liaw et Mehrabian, COLT 2017)

Soit  $L \geq 1$ ,  $U \geq 3$ ,  $d \geq 0$ ,  $p \geq 1$  et  $W \geq U \geq L$ .

Soit un réseau feed-forward avec  $W$  paramètres,  $U$  neurones,  $L$  couches tel que décrit ci-dessus. On note  $b_i$  le nb de neurones sur la  $i$ -ème couche ( $i=1, \dots, L$ ). On suppose que les neurones actifs ont une fonction d'activation  $\varphi$  polynomiale sur  $p+1$  morceaux ( $p \geq 1$ ) de degré majoré par  $d$  EN. En sortie: fonction d'activation = identité

On pose: pour  $i \in \{1, \dots, L\}$ ,

- Si  $d=0$ ,  $W_i = \text{nb de paramètres utiles au calcul de tous les neurones}$

de la couche  $i$       ✓ *pis* sur les arcs      ✓ *bias*

$$= (\text{nb d'arcs entrants vers la couche } i) + b_i$$

- Si  $d \geq 1$ ,  $W_i = \text{nb de paramètres (pis et bias) utiles au calcul de tous les neurones des couches } 1 \text{ à } i$ .

On pose  $\bar{L} := \frac{1}{W} \sum_{i=1}^L W_i \in [1; L]$

→ égal à 1 si  $d=0$

→ proche de  $L$  si  $d \geq 1$  et si les neurones sont concentrés sur les premières couches (ou même uniformément répartis entre les couches)

$$\text{et } R := \sum_{i=1}^L k_i \left(1 + (i-1) d^{i-1}\right) \leq U + U(L-1) d^{L-1} \begin{cases} = U & \text{si } d=0 \\ \leq U L d^{L-1} & \text{si } d \geq 1 \end{cases}$$

Alors : la classe  $\mathcal{F}$  de toutes les fonctions  $f_{a \in \mathbb{R}^W} : \mathbb{R}^{\text{entrée}} \rightarrow \mathbb{R}$   
 vérifie :  $\forall m \geq W$ ,

$$VC_{\text{dim}}(\text{sgn}(\mathcal{F})) \leq \sum_{i=1}^L 2 \left( \frac{2emk_i p(1+(i-1)d^{i-1})}{w_i} \right)^{w_i} \quad (1)$$

$$\leq \left( 4em p(1+(L-1)d^{L-1}) \right)^{\sum_{i=1}^L w_i} \quad (2)$$

Par ailleurs :

$$\begin{aligned} VC_{\text{dim}}(\text{sgn}(\mathcal{F})) &\leq L + \overline{L} W \underbrace{\log_2(4epR \log_2(2epR))}_{\text{négligeable}} \quad (3) \\ &= \mathcal{O}(\overline{L} W \log(pU) + \overline{L} LW \log d) \quad \text{si } d \geq 1 \end{aligned}$$

En particulier :

- Si  $d=0$ ,  $VC_{\text{dim}}(\text{sgn}(\mathcal{F})) \leq L + W \log_2(4epU \log_2(2epU)) = \mathcal{O}(W \log(pU)) = \mathcal{O}(W \log(pW))$
- Si  $d=1$ ,  $VC_{\text{dim}}(\text{sgn}(\mathcal{F})) = \underbrace{\mathcal{O}(\overline{L} W \log(pU))}_{\text{meilleur que la borne}} = \mathcal{O}(\min\{W^2, WL \log W + \underline{L^2 W}\})$   
 comme jusqu'alors. ↑  
 inutile quand  $d=1$ .

NB : Cette borne est presque optimale dans le cas des réseaux : pour  $d=1$ ,  $W \geq cL$  et  $L \geq c$  il existe un réseau ReLU à  $\leq L$  couches et  $\leq W$  paramètres tel que  $VC_{\text{dim}}(\text{sgn}(\mathcal{F})) \geq WL \log\left(\frac{W}{L}\right)/c$ . ( $c > 0$  constante absolue).

Preuve: repose sur le résultat de géométrie algébrique suivant:

Lemme 1 (prouvé par ex dans Anthony et Bartlett '99, theorem 8.3)

Soit  $p_1, \dots, p_m$  des polynômes de degré au plus  $d \geq 1$   
en  $m \leq m$  variables.

$$K := \text{card} \left\{ (\text{sgn}(p_1(x)), \dots, \text{sgn}(p_m(x))) : x \in \mathbb{R}^m \right\}$$

le nb de vecteurs de signes possibles.

$$\text{Alors : } K \leq 2(2emd/m)^m.$$

Notons  $f(x, \alpha)$  la sortie du réseau pour l'entrée  $x \in \mathcal{X}$  et le vecteur de paramètres  $\alpha \in \mathbb{R}^w$ .

$$\mathcal{X} = \mathbb{R}^{\dim \text{des entrées}}$$

Soit  $x_1, \dots, x_m \in \mathcal{X}$ . Afin de majorer  $T_{\text{sgn}(f_i)}(m)$ , majorons

$$\text{card} \left\{ (\text{sgn}(f(x_1, \alpha)), \dots, \text{sgn}(f(x_m, \alpha))) : \alpha \in \mathbb{R}^w \right\}$$

$$\leq \sum_{i=1}^N \text{card} \left\{ (\text{sgn}(f(x_1, \alpha)), \dots, \text{sgn}(f(x_m, \alpha))) : \alpha \in P_i \right\}$$

si  $P_1, \dots, P_N$  est une partition de  $\mathbb{R}^w$  qui sera choisie de sorte que les  $m$  fonctions  $\alpha \mapsto f(x_j, \alpha)$  soient polynomiales sur chaque cellule  $P_i$ . Il suffira alors d'appliquer le lemme 1.

Donc l'exercice se réduit à la construction d'une bonne partition.

Partitions construites par récurrence :  $\mathcal{L}_0, \mathcal{L}_1, \dots, \mathcal{L}_{L-1}$  partitions de  $\mathbb{R}^W$   
 telles que : partition finale :  $\mathcal{L}_{L-1} = \{P_1, \dots, P_N\}$

(a) les partitions sont emboîtées : chaque  $S \in \mathcal{L}_i$  est une réunion d'un ou plusieurs  $S' \in \mathcal{L}_{i+1}$  ( $0 \leq i \leq L-2$ )

(b)  $\text{card}(\mathcal{L}_0) = 1$  ( $\mathcal{L}_0 = \{\mathbb{R}^W\}$ ) et :  $\forall i \in \{1, \dots, L-1\}$ ,

$$\frac{|\mathcal{L}_i|}{|\mathcal{L}_{i-1}|} \leq 2 \left( \frac{2emk_i p (1 + (i-1)d^{i-1})}{W_i} \right)^{W_i}$$

(c) Pour tout  $i \in \{0, \dots, L-1\}$ , tout  $S \in \mathcal{L}_i$ , tout  $j \in \{1, \dots, m\}$ , la sortie d'un neurone de la  $i$ -ième couche (relatif à l'entrée  $x_j$ ) est une fonction polynomiale de  $W_i$  variables de  $a \in S$ , de degré  $\leq i d^i$ .

si  $d=0$  : les paramètres des neurones de la couche  $i$   
 si  $d \geq 1$  : \_\_\_\_\_ des couches  $1, \dots, i$

Récurrence :

- $i=0$  :  $\mathcal{L}_0 = \{\mathbb{R}^W\}$  propriété (c) OK (en posant  $W_0 = 0$ )  
 sortie d'un neurone d'entrée = fonction constante en  $a \in \mathbb{R}^W$

- Toute  $1 \leq i \leq L-1$ . Supposons avoir construit des partitions emboîtées  $\mathcal{L}_0, \mathcal{L}_1, \dots, \mathcal{L}_{i-1}$  vérifiant (b) et (c). Construisons  $\mathcal{L}_i$ .

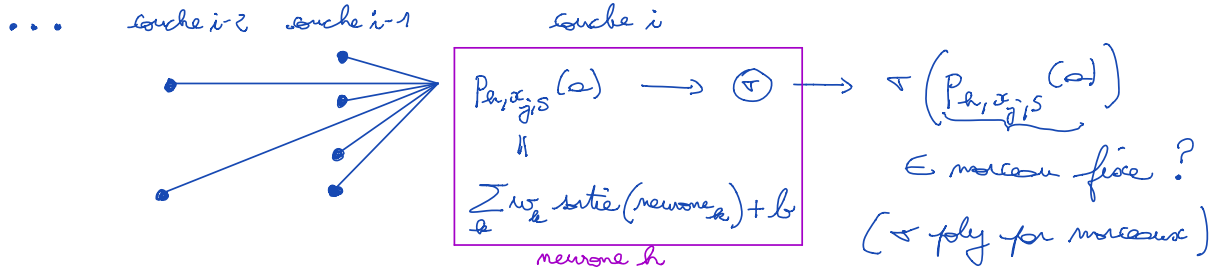
On note  $p_{h, x_j, S}(a)$  l'entrée (juste avant  $\rightarrow$ ) du  $h$ -ième neurone ( $h = 1, \dots, k_i$ ) de la couche  $i$ , pour l'entrée  $x_j$ , comme fonction de  $a \in S$  avec  $S \in \mathcal{L}_{i-1}$ .

D'après l'hyp de récurrence (c), puisque  $p_{h, x_j, S}(a)$  est de la forme  $\sum_h w_{h,a} \text{sortie(neurone}_h) + b$ , et puisque les partitions sont emboîtées, on a :  $p_{h, x_j, S}$  est polynomiale sur  $S$ , de degré  $\leq 1 + (i-1)d^{i-1}$ , et dépend d'au plus  $W_i$  variables.

NB : OK si  $d=0$ .

À cause de  $\tau$ , la sortie du neurone  $h$  est polynomiale par morceaux sur  $S$ .

On va décomposer  $S$  en sous-cellules pour que la sortie soit polynomiale sur chacune des sous-cellules, et ce  $H$  neurone  $h$ ,  $H$  entrée  $x_j$ .



Soit  $t_1 < t_2 < \dots < t_p$  les coupures des morceaux  $I_1, \dots, I_{p+1}$  de  $\tau$ . Considérons les polynômes  $\frac{+}{-} (P_{a,x_j,S}(a) - t_h)$ ,  $h \in \{1, \dots, k_i\}$   
 $(\text{sgn}(u) = \begin{cases} 1 & u > 0 \\ 0 & u = 0 \\ -1 & u < 0 \end{cases})$       + si  $I_{n+1}$  est ouvert en  $t_n$   
 $-$  si  $I_{n+1}$  est fermé en  $t_n$

D'après le lemme 1, cet ensemble de polynômes sur  $\mathbb{R}^W$  atteint au plus  
 $\pi := 2 \left( \underbrace{2e(k_i m p)}_{\text{nb de polynômes}} \underbrace{(1 + (i+1)d^{i+1})}_{\text{degré}} / W_i \right)^{W_i}$       (NB:  $m \geq W \geq W_i$ )  
 $\uparrow \uparrow$   
 $\text{nb de variables effectives}$

vecteurs de signes différents  $(\text{sgn} [\pm (P_{a,x_j,S}(a) - t_h)])_{h,j,i}$  quand  $a \in \mathbb{R}^W$   
 et donc quand  $a \in S$ . On peut donc partitionner  $S$  en  $\leq \pi$  sous-cellules de sorte que, sur chacune de ces sous-cellules, les  $P_{a,x_j,S}(a)$  ne changent pas de morceau (de  $\tau$ ) lorsque  $a$  varie dans cette sous-cellule.

NB: Ces  $\leq \pi$  sous-cellules de  $S$  sont les mêmes pour tous les neurones  $h$  et toutes les entrées  $x_j$  (utile pour la récurrence).

On obtient une nouvelle partition  $S_i$  de cardinal  $\leq \pi \cdot \text{ord}(S_{i-1})$   
 La propriété (b) est vérifiée.

Propriété (c) ?

$\forall S \in \mathcal{I}_i$ , la sortie du neurone  $h \in \{1, \dots, k_i\}$ :

$a \in S \mapsto \pi(p_{h, x_j, S}(a))$  est polynomiale de  $w_i$  variables  
de degré  $\leq d(1 + (i-1)d^{i-1}) \leq id^i$

donc propriété (c) OK.

multiplication du degré en entrée  
par le degré de  $\pi$ .

- Cela dit la récurrence sur partitions emboîtées  $\mathcal{I}_0, \mathcal{I}_1, \dots, \mathcal{I}_{L-1}$  vérifiant (b) et (c).

En particulier,  $\mathcal{I}_{L-1}$  est une partition de  $\mathbb{R}^W$  telle que la sortie de chaque neurone des couches  $0, \dots, L-1$  est polynomiale de degré  $\leq (L-1)d^{L-1}$  sur chaque  $S \in \mathcal{I}_{L-1}$ , pour tout  $j \in \{1, \dots, m\}$ .  
car les  $\mathcal{I}_i$  sont emboîtées

Ainsi, pour chaque cellule  $S \in \mathcal{I}_{L-1}$  et chaque entrée  $x_j \in X$ , la fonction  $a \in S \mapsto f(x_j, a)$  en sortie de réseau est polynomiale de degré  $\leq (1 + (L-1)d^{L-1})$   
et ne dépend que de  $w_L$  variables.  
à cause de la combinaison linéaire calculée par le neurone de sortie

D'où, d'après le lemme 1 :

$$\begin{aligned} & \text{card} \left\{ (\text{sgn}(f(x_1, a)), \dots, \text{sgn}(f(x_m, a))) : a \in S \right\} \\ & \leq 2 \left( \frac{2em(1 + (L-1)d^{L-1})}{w_L} \right)^{w_L} \quad (\text{NB: } m \geq w \geq w_L) \end{aligned}$$

De plus :

$$\text{card} \left\{ (\text{sgn}(f(x_1, a)), \dots, \text{sgn}(f(x_m, a))) : a \in \mathbb{R}^W \right\}$$

$$\leq \sum_{S \in \mathcal{I}_{L-1}} \text{card} \left\{ (\text{sgn}(f(x_1, a)), \dots, \text{sgn}(f(x_m, a))) : a \in S \right\}$$

$$\leq \text{ord}(\mathcal{I}_{L-1}) \times 2 \left( \frac{2em(1+(L-1)d^{L-1})}{w_L} \right)^{w_L} \quad (4)$$

Gr, d'après la propriété (b) :

$$\text{ord}(\mathcal{I}_{L-1}) \leq \prod_{i=1}^{L-1} 2 \left( \frac{2em k_i p(1+(i-1)d^{i-1})}{w_i} \right)^{w_i}$$

et donc (car (4) est valable pour tous  $x_1, \dots, x_m \in X$ ) :

$$\pi_{\text{sgn}(\mathbb{F})}(m) \leq \prod_{i=1}^L 2 \left( \frac{2em k_i p(1+(i-1)d^{i-1})}{w_i} \right)^{w_i} \Rightarrow (1) \text{ OK}$$

étape (moyenne géométrique  $\leq$  moyenne arithmétique)

- $\forall y_1, \dots, y_k > 0, \forall \alpha_1, \dots, \alpha_k \geq 0$  tq  $\sum_{i=1}^k \alpha_i = 1$ ,

$$\prod_{i=1}^k y_i^{\alpha_i} \leq \sum_{i=1}^k \alpha_i y_i \quad (\text{preuve par Jensen})$$

- D'où:  $\forall y_1, \dots, y_k > 0, \forall \alpha_1, \dots, \alpha_k \geq 0$  tq  $\sum_{i=1}^k \alpha_i > 0$ ,

$$\prod_{i=1}^k y_i^{\alpha_i} \leq \left( \frac{\sum_{i=1}^k \alpha_i y_i}{\sum_{i=1}^k \alpha_i} \right)^{\sum_{i=1}^k \alpha_i}$$

$$\begin{aligned} \pi_{\text{sgn}(\mathbb{F})}(m) &\leq 2^L \left( \frac{2em p \sum_{i=1}^L k_i (1+(i-1)d^{i-1})}{\sum_{i=1}^L w_i} \right)^{\sum_{i=1}^L w_i} \\ &= 2^L \left( \frac{2em p R}{\sum_{i=1}^L w_i} \right)^{\sum_{i=1}^L w_i} \quad \text{par définition de } R \quad (5) \end{aligned}$$

$$\leq \left( \frac{4em p (1+(L-1)d^{L-1}) \sum_{i=1}^L k_i}{\sum_{i=1}^L w_i} \right)^{\sum_{i=1}^L w_i} \quad \text{or } L \leq \sum_{i=1}^L w_i$$

$$\leq \left( 4em p (1+(L-1)d^{L-1}) \right)^{\sum_{i=1}^L w_i} \quad \text{or } \sum_{i=1}^L k_i \leq \sum_{i=1}^L w_i \Rightarrow (2) \text{ OK}$$

Pour prouver la borne (3) sur  $\text{VCdim}(\text{sgn}(F))$ , on va combiner (5) et le lemme suivant :

Lemme 2 : Soit  $x \geq 16$  et  $w \geq t > 0$

Alors, pour tout  $m > t + w \lg_2(2x \lg_2 x) =: x_0$ , on a  
on a  $2^m > 2^t \left(\frac{mx}{w}\right)^w$

Suite de la preuve du théorème 1 : d'après (5) et le lemme 2 avec  $t=L$ ,  $w=\sum_{i=1}^L w_i$  et  $x=2\epsilon pR \geq 2\epsilon U \stackrel{\epsilon \geq 3}{\geq} 16$ , on a :

$$\forall m > V := L + \left(\sum_{i=1}^L w_i\right) \lg_2(4\epsilon pR \lg_2(2\epsilon pR)) \geq W, \quad \pi_H(m) < 2^m$$

et donc  $\text{VCdim}(\text{sgn}(F)) \leq V$  par définition de la VC-dimension, ce qui prouve (3). ■

Preuve du lemme 2 : Soit  $x_0 := t + w \lg_2(2x \lg_2 x)$ .

Montrons que, pour tout  $x > x_0$ ,

$$2^x > 2^t \left(\frac{x_0}{w}\right)^w \iff \underbrace{x - t - w \lg_2\left(\frac{x_0}{w}\right)}_{f(x) :=} > 0$$

Il suffit de montrer que  $f(x_0) \geq 0$  et  $f'(x) > 0 \quad \forall x > x_0$ .

$$\begin{aligned} f(x_0) \geq 0 &\iff x_0 - t - w \lg_2\left(\frac{x_0}{w}\right) \geq 0 \\ &\iff w \lg_2(2x_0 \lg_2 x_0) \geq w \lg_2\left(\frac{x_0}{w}\right) \quad (\text{déf de } x_0) \end{aligned}$$

$$\begin{aligned}
 &\Leftrightarrow 2 \lg_2(r) \geq \frac{x_0}{w} = \frac{t}{w} + \lg_2(2r \lg_2 r) \\
 &\Leftrightarrow \lg_2\left(\frac{r^2}{2r \lg_2 r}\right) \geq \frac{t}{w} \\
 &\Leftrightarrow \frac{r}{2 \lg_2 r} \geq 2^{\frac{t}{w}}
 \end{aligned}$$

ce qui est vrai car  $\frac{r}{2 \lg_2 r} \geq 2$  car  $r \geq 16$  et  $\frac{t}{w} \leq 1$ .

- Pour tout  $x > x_0$ ,  $f'(x) = 1 - \frac{w}{x \lg 2}$

$$\text{d'où } f'(x) > 0 \Leftrightarrow x > \frac{w}{\lg 2} \quad r \geq 16$$

ce qui est vrai car  $x_0 \geq w \lg_2(2r \lg_2 r) \geq w / \lg 2$   
On en déduit que  $f(x) > 0$  pour tout  $x > x_0$ . ■

Remarque : cette borne de complexité, quasi-optimale dans le pire des cas, n'explique raisonnablement pas les bonnes performances pratiques des réseaux de neurones, car elles sont permettes.

Ex de papiers proposant des bornes dépendant plus finement du réseau considéré :

- "Spectrally-normalized margin bounds for neural networks", Botttett, Foster, Telgarsky, NIPS 2017.
- "Type-independent sample complexity of neural networks", Golovin, Rakhlin, Shamir, COLT 2018.

La recherche est encore très active dans ce domaine ; cf. par ex. :

- "Uniform convergence may be unable to explain generalization in deep learning", Nagarajan and Kolter, NeurIPS 2019.